

並列3次元MHDコードと3次元可視化

荻野竜樹（名古屋大学太陽地球環境研究所）

1.はじめに

太陽風と地球磁気圏相互作用の3次元グローバル電磁流体力学的(MHD)シミュレーションは、約20年前に、力が釣り合った平均的な磁気圏の形をやっと再現できるところから出発して、コンピュータとIT技術の長足の進歩に相まって発展を続け、最近では、衛星・地上観測と比較して磁気圏のダイナミックスを議論できる程度にまで成長してきた。こうして、上流の太陽風や惑星間磁場(IMF)の変化に対する磁気圏・電離圏の応答や、磁気圏での大きな擾乱現象であるサブストームや磁気嵐を直接シミュレーションから調べようとする試みも行われるようになってきた。これらの太陽風磁気圏相互作用のグローバルMHDシミュレーションを精度よく実行するためには、計算方法の改良が一方で必要であるとともに、最大級のスーパーコンピュータの利用、それも効率的な並列計算法の利用は不可欠である。

そのような並列計算共通プログラム言語の候補として、High Performance Fortran (HPF)とMessage Passing Interface (MPI)があると言われてきた。HPFは、米国の共同研究者が共通プログラム言語として優れていると言っている反面、多くの大型プログラムで性能が十分に出ないという批判の声も出ていた。こうした中、2000年から HPF/JA (JAHPFによる HPF の日本拡張版) が使えるようになり、VPP Fortran でフルベクトル化フル並列化されている流体コードや MHD コードは、比較的容易に HPF/JA に書き換えることができて、更にその HPF/JA のプログラムは VPP Fortran と同等の性能を得ることが示された。しかし、HPF/JA の成功にもかかわらず、HPF の普及は進んでいないのが現状である。こうして、世界標準並列化言語として最後に残った MPI に対する期待が高まることになる。この講義と実習では、VPP Fortran と HPF/JA で書かれた3次元 MHD コードとの比較をしながら、MPI を用いた並列計算3次元 MHD コードの作成と使用方法を主として解説する。

太陽風磁気圏相互作用などの複雑なシミュレーション結果を理解するためには可視化は必須である。特に、重要でかつ面倒な2つの機能にアニメーション動画作成と3次元可視化があるが、アニメーション動画は時間変化を示すことによって磁気圏ダイナミックスの理解を助け、3次元可視化は磁気圏の流線、磁力線及び電流構造の特徴を明らかにするのに威力を発揮する。さらに、最近話題になっているインターネットによる情報公開は、簡単にはできないような自己矛盾のないシミュレーション結果を誰もが即座に見ることができ、現象をよりよく理解する上で強力な手段となりつつある。

こうした中で、VRML (Virtual Reality Modeling Language) の登場によって、3次元画像処理専用機と3次元画像処理専用ソフトウェアを持たなくても、誰でも VRML のビューアさえあれば3次元画像を自分の好きなように見ることができる状況が実現した。自分のコンピュータの処理能力に依存するが、ネットスケープやインターネットエクスプローラなどのブラウザを使えば、VRML2.0 対応のcosmoplayer 等のビューアが標準で付いている。パーソナルコンピュータも最近高速になってきたので、

高速のcpuとグラフィックアクセラレータを積み、更に十分なメモリ(256 MB以上)を載せれば、可視化に十分な性能を発揮できる。また、精度の高い3次元画像を快適に見たいのであればWebspaceやCosmoworldsの利用が更に有効である。

2. 太陽風磁気圏相互作用の3次元グローバルMHDモデル

太陽風磁気圏相互作用の3次元MHDモデルでは、MHD方程式とマックスウェル方程式を初期値境界値問題として、様々な方法でその時間発展を解いている。偏微分方程式を差分化して2step Lax-Wendroff法で解く方法などはその例である。空間分解能を上げるための計算方法における様々な工夫として、非一様格子法、非構造格子法、自動調節格子法、時空間多重格子法の導入などが行われている。以下では、私達が3次元MHDシミュレーションに用いている高精度計算法の一つであるmodified leap-frog法について述べる[1-4]。

2.1. 基礎方程式

MHDモデルの基礎となる規格されたMHD方程式とMaxwell方程式を以下に示す。

$$\frac{\partial \rho}{\partial t} = -\nabla \cdot (\mathbf{v}\rho) + D\nabla^2\rho \quad (1)$$

$$\frac{\partial \mathbf{v}}{\partial t} = -(\mathbf{v} \cdot \nabla)\mathbf{v} - \frac{1}{\rho}\nabla p + \frac{1}{\rho}\mathbf{J} \times \mathbf{B} + \mathbf{g} + \frac{1}{\rho}\Phi \quad (2)$$

$$\frac{\partial p}{\partial t} = -(\mathbf{v} \cdot \nabla)p - \gamma p \nabla \cdot \mathbf{v} + D_p \nabla^2 p \quad (3)$$

$$\frac{\partial \mathbf{B}}{\partial t} = \nabla \times (\mathbf{v} \times \mathbf{B}) + \eta \nabla^2 \mathbf{B} \quad (4)$$

$$\mathbf{J} = \nabla \times (\mathbf{B} - \mathbf{B}_d) \quad (5)$$

式(1)～(4)はそれぞれ、連続の式、運動方程式、エネルギー保存則より求まる圧力変化の式、インダクション方程式と呼ばれる磁場変化を示す式である。ただし、 ρ はプラズマ密度、 \mathbf{v} は速度ベクトル、 p はプラズマ圧力、 \mathbf{B} は磁場ベクトルである。この8つのパラメータを未知数として求めていく。ただし、差分法の数値誤差により、 \mathbf{B}_d に対する \mathbf{J} が有限値になるため、式(5)を用いてその数値誤差を除去している。ここでの \mathbf{B}_d は地球の固有磁場としての双極子磁場である。また、 μ は粘性項である。 $\eta = \alpha (T / T_0)^{-3/2}$ は温度に依存した電気抵抗である。ここでの $T = p / \rho$ はプラズマ温度であり、 T_0 は電離層における値で、 $T_0 = 0.0005 - 0.002$ の範囲にとる。重力項は、 $\mathbf{g} = -g_0 \mathbf{z} / R^2$ ($R^2 = x^2 + y^2 + z^2$ 、 $g_0 = 1.35 \times 10^{-7}$ (9.8 m/s^2))は重力加速度であり、 $\gamma = 5/3$ は3次元空間における比熱比である。また、粒子の拡散係数 D 、圧力の拡散係数 D_p 、 μ の各係数は、初期値や急激な磁場変化に起因する短波長の数値的振動を抑制するために人工的に与えたものであり、 $D = D_p = \mu = 0.001$ (ただし、 ρ_{sw} は太陽風の密度)とした。また、各パラメータは次のものにより規格化した。距離は地球半径

$R_e = 6.37 \times 10^6$ m、密度は電離層における値 $s = mn_s$ (10^{10} m^{-3})、磁場は赤道における現在の双極子磁場強度 $B_s = 3.12 \times 10^4$ nT、速度は赤道におけるアルフベン速度 $V_A = 6.80 \times 10^6$ m/s、時間はアルフベン通過時間 $t_s = R_e / V_A = 0.937$ s である。

2.2. 座標系と境界条件

シミュレーションには、図 1 に示すような太陽方向 x 軸正、夕方向 y 軸正、磁気北極方向 z 軸正とした太陽地球磁気圏座標系を用いて、MHD 方程式とマックスウェル方程式を時空間で差分化して、MHD 方程式系における 8 個の物理変数、プラズマ密度 ρ 、速度 \mathbf{v} 、圧力 p 及び 磁場 \mathbf{B} の時間発展を解く。ここでは、朝夕と南北で対称性を仮定した $1/4$ 領域の地球磁気圏モデルを考える。

Therefore the following boundary conditions are imposed for each physical quantity, $\phi = (\rho, \mathbf{v}, p, \mathbf{B})$:

(1) fixed boundary $\phi = \text{const}$ at $x = x_0$;

(2) free boundary $\partial\phi/\partial x = 0$ at $x = x_1$;

(3) free boundary at an angle of 45° to the x axis, $\partial\phi/\partial y = 0$ at $y = y_0$, $\partial\phi/\partial z = 0$ at $z = z_0$;

(4) mirror boundary at $z = 0$,

$$\frac{\partial\rho}{\partial z} = \frac{\partial p}{\partial z} = \frac{\partial v_x}{\partial z} = \frac{\partial v_y}{\partial z} = \frac{\partial B_z}{\partial z} = 0 \quad (6a)$$

$$v_z = B_x = B_y = 0 \quad (6b)$$

(5) mirror boundary at $y = 0$.

$$\frac{\partial\rho}{\partial y} = \frac{\partial p}{\partial y} = \frac{\partial v_x}{\partial y} = \frac{\partial v_z}{\partial y} = \frac{\partial B_x}{\partial y} = \frac{\partial B_z}{\partial y} = 0 \quad (7a)$$

$$v_y = B_y = 0 \quad (7b)$$

(6) all physical quantities are fixed for

$$\xi = (x^2 + y^2 + z^2)^{1/2} \leq \xi_a (= 3.5)$$

The internal quantity ϕ_{in} at the initial state and the external quantity ϕ_{ex} are at each time step connected by the introduction of a smooth function $f \equiv a_0 h^2 (a_0 h^2 + 1)$ as

$$\phi = f\phi_{ex} + (1-f)\phi_{in} \quad (8)$$

where $a_0 = 100$, $h = (\xi/\xi_a)^2 - 1$ for $\xi \geq \xi_a$ and $h = 0$ for $\xi < \xi_a$.

2.3. 初期条件

初期条件には、「対称面より上流で零のミラーダイポール磁場」と「重力とプラズマ圧力が静的に釣り合った球対称の電離層」を仮定し、シミュレーション箱の上流から一定の密度、速度、温度を持つ太陽風を流し始めて、定常状態に近い磁気圏の構造を求める。初期にミラーダイポール磁場を用いる理由

は、上流で流れに平行な磁場成分を含めないためである。前述したように、境界条件としては、上流は固定端、側面と上下面は磁気圏前面に形成される衝撃波の形状を考慮して、 x 軸と 45 度の角度を持たせた自由端、下流は面に垂直な方向に自由端、地球の中心を通る $y = 0$ 又は $z = 0$ の面では磁場と速度のベクトルと矛盾の無い鏡像の境界条件を課す。更に、太陽風や IMF のパラメータを時間変化させて、磁気圏・電離圏の応答や擾乱現象を調べる。

初期条件の具体的な関数は次の様に与える。

Density

$$\rho_0 = \xi^{-3} \quad \rho_0 \geq 0.2\rho_{sw} \quad (9a)$$

$$\rho_0 = 0.2\rho_{sw} \quad \rho_0 < 0.2\rho_{sw} \quad (9b)$$

Plasma pressure

$$p_0 = p_{00}\xi^{-2} \quad p_0 \geq p_{sw} \quad (10a)$$

$$p_0 = p_{sw} \quad p_0 < p_{sw} \quad (10b)$$

Gravity force

$$\mathbf{g} = -\frac{g_0}{\xi^3}(x, y, z) \quad (11)$$

Dipole magnetic field

$$\mathbf{B}_d = \frac{1}{\xi^5}(-3xz, -3yz, x^2 + y^2 - 2z^2) \quad (12)$$

where $g_0 = 1.35 \times 10^{-6}$ and $p_{00} = (\gamma - 1)g_0/\gamma = 5.4 \times 10^{-7}$.

The solar wind parameters used are $\rho_{sw} = 5 \times 10^{-4}$ (corresponding to $5/\text{cm}^3$). $\mathbf{v}_{sw} = (v_{sw}, 0, 0)$

at $x = x_0$. $v_{sw} = 0.0441 - 0.118(300 - 800 \text{ km/s})$, $p_{sw} = 3.56 \times 10^{-8}$ ($T_{sw} = 2 \times 10^5 \text{ K}$). and $B_{IMF} = 0$

or $\pm 1.5 \times 10^{-4} (\pm 5 \text{ nT})$, where B_{IMF} stands for the z component of the uniform IMF traveling with the solar wind.

2 . 4 . Modified Leap-Frog 法の導入

数値計算法としては、図 2 に示すような Modified leap-frog 法を用いる。最初の 1 回を two step Lax-Wendroff 法で解き、続く $(\ell-1)$ 回を leap-frog 法で解き、その一連の手続きを繰り返す。 ℓ の値は数値的に安定の範囲で大きい方が望ましいので、2 次精度の中心空間差分を採用するととき、数値精度の線形計算と予備的シミュレーションから $\ell = 8$ に選んでいる。Modified leap-frog 法は、two step Lax-Wendroff 法の数値的安定化効果を一部取り入れて、leap-frog 法の数値的減衰と分散の小さい効果をより多く取り入れた、数値的減衰と分散にバランスの良くとれた一種の組み合わせ計算方法となっている。また、パラメータ ℓ を変化させることによって、性質の良く分かった 2 つの計算方法に一致させ

ることができるので、結果に与える数値誤差の影響も理解し易い利点を持っている。

Modified leap-frog 法の具体的な計算スキームを次に示す。先ず次の形の偏微分方程式を導入する。

$$\frac{\partial f}{\partial t} = -\frac{\partial f}{\partial x} - \frac{\partial f}{\partial y} - \frac{\partial f}{\partial z} - f \quad (13)$$

(1) First step

$$f_{i+\frac{1}{2}, j+\frac{1}{2}, k+\frac{1}{2}}^t = \frac{1}{8} (f_{i,j,k}^t + f_{i+1,j,k}^t + f_{i,j+1,k}^t + f_{i+1,j+1,k}^t + f_{i,j,k+1}^t + f_{i+1,j,k+1}^t + f_{i,j+1,k+1}^t + f_{i+1,j+1,k+1}^t) \quad (14)$$

$$\begin{aligned} f_{i+\frac{1}{2}, j+\frac{1}{2}, k+\frac{1}{2}}^{t+\frac{1}{2}} &= f_{i+\frac{1}{2}, j+\frac{1}{2}, k+\frac{1}{2}}^t - \frac{1}{2} \Delta t f_{i+\frac{1}{2}, j+\frac{1}{2}, k+\frac{1}{2}}^t \\ &\quad - \frac{\Delta t}{8\Delta x} (f_{i+1,j,k}^t + f_{i+1,j+1,k}^t + f_{i+1,j,k+1}^t + f_{i+1,j+1,k+1}^t - f_{i,j,k}^t - f_{i,j+1,k}^t - f_{i,j,k+1}^t - f_{i,j+1,k+1}^t) \\ &\quad - \frac{\Delta t}{8\Delta y} (f_{i,j+1,k}^t + f_{i+1,j+1,k}^t + f_{i,j,k+1}^t + f_{i+1,j+1,k+1}^t - f_{i,j,k}^t - f_{i+1,j,k}^t - f_{i,j,k+1}^t - f_{i+1,j,k+1}^t) \\ &\quad - \frac{\Delta t}{8\Delta z} (f_{i,j,k+1}^t + f_{i+1,j,k+1}^t + f_{i,j+1,k+1}^t + f_{i+1,j+1,k+1}^t - f_{i,j,k}^t - f_{i+1,j,k}^t - f_{i,j,k+1}^t + f_{i+1,j+1,k}^t) \end{aligned} \quad (15)$$

(2) Second step

$$\begin{aligned} f_{i,j,k}^{t+\frac{1}{2}} &= \frac{1}{8} (f_{i-\frac{1}{2}, j-\frac{1}{2}, k-\frac{1}{2}}^{t+\frac{1}{2}} + f_{i+\frac{1}{2}, j-\frac{1}{2}, k-\frac{1}{2}}^{t+\frac{1}{2}} + f_{i-\frac{1}{2}, j+\frac{1}{2}, k-\frac{1}{2}}^{t+\frac{1}{2}} + f_{i+\frac{1}{2}, j+\frac{1}{2}, k-\frac{1}{2}}^{t+\frac{1}{2}} \\ &\quad + f_{i-\frac{1}{2}, j-\frac{1}{2}, k+\frac{1}{2}}^{t+\frac{1}{2}} + f_{i+\frac{1}{2}, j-\frac{1}{2}, k+\frac{1}{2}}^{t+\frac{1}{2}} + f_{i-\frac{1}{2}, j+\frac{1}{2}, k+\frac{1}{2}}^{t+\frac{1}{2}} + f_{i+\frac{1}{2}, j+\frac{1}{2}, k+\frac{1}{2}}^{t+\frac{1}{2}}) \end{aligned} \quad (16)$$

$$\begin{aligned} f_{i,j,k}^{t+1} &= f_{i,j,k}^t - \Delta t f_{i,j,k}^{t+\frac{1}{2}} \\ &\quad - \frac{\Delta t}{4\Delta x} (f_{i+\frac{1}{2}, j-\frac{1}{2}, k-\frac{1}{2}}^{t+\frac{1}{2}} + f_{i+\frac{1}{2}, j+\frac{1}{2}, k-\frac{1}{2}}^{t+\frac{1}{2}} + f_{i+\frac{1}{2}, j-\frac{1}{2}, k+\frac{1}{2}}^{t+\frac{1}{2}} + f_{i+\frac{1}{2}, j+\frac{1}{2}, k+\frac{1}{2}}^{t+\frac{1}{2}} \\ &\quad - f_{i-\frac{1}{2}, j-\frac{1}{2}, k-\frac{1}{2}}^{t+\frac{1}{2}} - f_{i-\frac{1}{2}, j+\frac{1}{2}, k-\frac{1}{2}}^{t+\frac{1}{2}} - f_{i-\frac{1}{2}, j-\frac{1}{2}, k+\frac{1}{2}}^{t+\frac{1}{2}} - f_{i-\frac{1}{2}, j+\frac{1}{2}, k+\frac{1}{2}}^{t+\frac{1}{2}}) \\ &\quad - \frac{\Delta t}{4\Delta y} (f_{i-\frac{1}{2}, j+\frac{1}{2}, k-\frac{1}{2}}^{t+\frac{1}{2}} + f_{i+\frac{1}{2}, j+\frac{1}{2}, k-\frac{1}{2}}^{t+\frac{1}{2}} + f_{i-\frac{1}{2}, j+\frac{1}{2}, k+\frac{1}{2}}^{t+\frac{1}{2}} + f_{i+\frac{1}{2}, j+\frac{1}{2}, k+\frac{1}{2}}^{t+\frac{1}{2}} \\ &\quad - f_{i-\frac{1}{2}, j-\frac{1}{2}, k-\frac{1}{2}}^{t+\frac{1}{2}} - f_{i+\frac{1}{2}, j-\frac{1}{2}, k-\frac{1}{2}}^{t+\frac{1}{2}} - f_{i-\frac{1}{2}, j-\frac{1}{2}, k+\frac{1}{2}}^{t+\frac{1}{2}} - f_{i+\frac{1}{2}, j-\frac{1}{2}, k+\frac{1}{2}}^{t+\frac{1}{2}}) \\ &\quad - \frac{\Delta t}{4\Delta z} (f_{i-\frac{1}{2}, j-\frac{1}{2}, k+\frac{1}{2}}^{t+\frac{1}{2}} + f_{i+\frac{1}{2}, j-\frac{1}{2}, k+\frac{1}{2}}^{t+\frac{1}{2}} + f_{i-\frac{1}{2}, j+\frac{1}{2}, k+\frac{1}{2}}^{t+\frac{1}{2}} + f_{i+\frac{1}{2}, j+\frac{1}{2}, k+\frac{1}{2}}^{t+\frac{1}{2}} \\ &\quad - f_{i-\frac{1}{2}, j-\frac{1}{2}, k-\frac{1}{2}}^{t+\frac{1}{2}} - f_{i+\frac{1}{2}, j-\frac{1}{2}, k-\frac{1}{2}}^{t+\frac{1}{2}} - f_{i-\frac{1}{2}, j+\frac{1}{2}, k-\frac{1}{2}}^{t+\frac{1}{2}} - f_{i+\frac{1}{2}, j+\frac{1}{2}, k-\frac{1}{2}}^{t+\frac{1}{2}}) \end{aligned} \quad (17)$$

The concrete procedure of two-step Lax-Wendroff method in the 3-dimensional MHD code is as follows;

1. $f(i, j, k)$ is given for $2 \leq i \leq nx1$, $2 \leq j \leq ny1$ and $2 \leq k \leq nz1$

2. $f(i, j, k)$ for $i = 1, nx2$, $j = 1, ny2$, and $k = 1, nz2$ is determined from boundary condition

3. 1st interpolation

$$p(i, j, k) = \frac{1}{8}(f(i, j, k) + f(i+1, j, k) + f(i, j+1, k) + f(i+1, j+1, k) \\ + f(i, j, k+1) + f(i+1, j, k+1) + f(i, j+1, k+1) + f(i+1, j+1, k+1)) \quad (18)$$

$$u(i, j, k) = p(i, j, k) \quad (19)$$

4. Calculation of 1st step

$$u(i, j, k) = u(i, j, k) - \frac{1}{2} \Delta t p(i, j, k) \\ - \frac{\Delta t}{8\Delta x} (f(i+1, j, k) + f(i+1, j+1, k) + f(i+1, j, k+1) + f(i+1, j+1, k+1) \\ - f(i, j, k) - f(i, j+1, k) - f(i, j, k+1) - f(i, j+1, k+1)) \\ - \frac{\Delta t}{8\Delta y} (f(i, j+1, k) + f(i+1, j+1, k) + f(i, j+1, k+1) + f(i+1, j+1, k+1) \\ - f(i, j, k) - f(i+1, j, k) - f(i, j, k+1) - f(i+1, j, k+1)) \\ - \frac{\Delta t}{8\Delta z} (f(i, j, k+1) + f(i+1, j, k+1) + f(i, j+1, k+1) + f(i+1, j+1, k+1) \\ - f(i, j, k) - f(i+1, j, k) - f(i, j+1, k) - f(i+1, j+1, k)) \quad (20)$$

5. 2nd interpolation

$$p(i, j, k) = \frac{1}{8}(u(i-1, j-1, k-1) + u(i, j-1, k-1) + u(i-1, j, k-1) + u(i, j, k-1) \\ + u(i-1, j-1, k) + u(i, j-1, k) + u(i-1, j, k) + u(i, j, k)) \quad (21)$$

6. Calculation of 2nd step

$$f(i, j, k) = f(i, j, k) - \Delta t p(i, j, k) \\ - \frac{\Delta t}{4\Delta x} (u(i, j, k) + u(i, j-1, k) + u(i, j, k-1) + u(i, j-1, k-1) \\ - u(i-1, j, k) - u(i-1, j-1, k) - u(i-1, j, k-1) - u(i-1, j-1, k-1)) \\ - \frac{\Delta t}{4\Delta y} (u(i, j, k) + u(i-1, j, k) + u(i, j, k-1) + u(i-1, j, k-1) \\ - u(i, j-1, k) - u(i-1, j-1, k) - u(i, j, k-1) - u(i-1, j-1, k-1)) \\ - \frac{\Delta t}{4\Delta z} (u(i, j, k) + u(i-1, j, k) + u(i, j-1, k) + u(i-1, j-1, k) \\ - u(i, j, k-1) - u(i-1, j, k-1) - u(i, j-1, k-1) - u(i-1, j-1, k-1)) \quad (22)$$

この計算スキームは、 $u(i, j, k) = p(i, j, k)$ とおく場合 two step Lax-Wendroff 法となるが、 $u(i, j, k)$ に前のステップから計算した値をそのまま使用し、時間幅を $\frac{1}{2}\Delta t$ から Δt と 2 倍すれば、Leap-frog 法になる。Modified leap-frog 法は、1 回目を two-step Lax-Wendroff 法、継続する $(\ell-1)$ 回を Leap-frog 法を用いて計算する方法である（図 2 参照）。

次に伝達方程式

$$\frac{\partial u}{\partial t} + \frac{\partial u}{\partial x} = 0 \quad (23)$$

を用いて、Modified leap-frog 法の数値的安定性を議論する。

時空間の差分を $u_i^j = u(x_i, t_j)$ 、 $u_{i\pm 1}^{j\pm 1} = u(x_i \pm \Delta x, t_j \pm \Delta t)$ と書き、フーリエ級数

$$u_i^j = u_o^j e^{ikx}, \quad u_{i\pm 1}^j = u_o^j e^{ik(x\pm\Delta x)} = u_i^j e^{\pm k\Delta x} \equiv u_i^j e^{\pm i\kappa} \quad (24)$$

を用いると、two step Lax-Wendroff 法の增幅率 $A = u_i^{j+1} / u_i^j$ は、

$$A_{2LW} = 1 + i\delta \sin \kappa + \delta^2 (\cos \kappa - 1) \quad (25a)$$

$$|A_{2LW}|^2 = 1 + (\delta^4 - \delta^2)(\cos \kappa - 1)^2 \quad (25b)$$

となる。従って、 $0 \leq \Delta t / \Delta x \leq 1$ の時、すべての $\kappa = k\Delta x$ に対して $|A_{2LW}| \leq 1$ が成立し、数値的に安定となる。

Leap-frog 法は

$$A_{LF}^{\frac{1}{2}} = \pm \sqrt{1 + \delta^2 \sin^2 \frac{\kappa}{2}} - i\delta \sin \frac{\kappa}{2} \quad (26)$$

となり、 $|A_{LF}| = 1$ となって、限界的に安定である。

従って、Modified leap-frog 法の增幅率は次式で与えられる。

$$A_{MLF} = A_{2LW}^{1/\ell} A_{LF}^{(\ell-1)/\ell} \quad (27)$$

Modified leap-frog 法 (MLF)、2 step Lax-Wendroff 法 (2LW) 及び Runge-Kutta-Gill 法 (RKG)に対する増幅率の絶対値と位相速度の波数依存性を図 3 に、 ℓ を変化したときの Modified leap-frog 法 (MLF) に対する増幅率の絶対値と位相速度の波数依存性を図 4 に示す。Modified leap-frog 法は絶対値と同様に位相速度に対しても数値精度が大幅に改善されるのが理解される。

Modified leap-frog 法、two step Lax-Wendroff 法及び leap-frog 法の 3 種類の計算方法を波動方程式に適用した結果を図 5 に、電磁流体力学の非線形現象である MHD 衝撃波のシミュレーションに適用した

結果を図6に示す。線形な波動方程式でパルス波の伝搬を差分法で解く場合、波長の短い波ほど数値的減衰が大きくかつ位相速度が遅いので、パルス波が崩れて後に波列が現れる。その数値的な減衰と分散がmodified leap-frog法では大幅に改善されているのが見られる。非線形な現象の場合もtwo step Lax-Wendroff法では、数値的分散によって衝撃波の後に振動が発生し、modified leap-frog法では、それが小さく抑えられて衝撃波の形がよく得られているのが分かる。一方、leap-frog法では、振動が深くなつて衝撃波がパルス列に分離しているのが見られる。これは、数値的減衰は無いが数値的分散は存在するleap-frog法の数値的特性に依存する現象で物理的には意味のないものである。

3. MPIを用いた並列計算MHDコード

1995年にFujitsu VPP500が使用できるようになって、太陽風と地球磁気圏相互作用のグローバルMHDシミュレーションを実行するためのフルベクトル化されていた3次元MHDコード(*earthb*)をVPP Fortran用に書き換えた。コードの全面的な書き換えを行つて、VPP Fortranで計算効率の高い、ほぼフルベクトル化フル並列化された3次元MHDコード(*pearthb*)を作成した[荻野、1997]。その後、2000年に3次元MHDコードをVPP FortranからHPF/JAへ書き換えた(*hearthb*)[荻野、2000; Ogino, 2002]。結果的には、HPF/JAで書いた3次元MHDコード(*hearthb*)もVPP Fortranの3次元MHDコードと同様にフルベクトル化フル並列化することができ、計算速度もVPP Fortranと同等の性能を得ることができた。VPP Fortranでも、HPF/JAでもベクトル並列化MHDコードとしては、ほとんど同等のものであるが、ベクトル化MHDコード(*earthb*)とは全く別物である。その最も大きな違いは、ベクトル化MHDコードは、プログラムサイズを最小化しているのに対し、ベクトル並列化MHDコードでは並列計算の性質上プログラムサイズの最小化が不可能だったことである。このため、同じ格子点数のMHDシミュレーションをする場合、ベクトル化コードに比べて、ベクトル並列化コードは約3~4倍のコンピュータメモリが必要である[荻野、2000; Ogino, 2002]。

2002年になって、周りの人の協力を得てHPF/JAからMPIへとVPP FortranからMPIへの書き換えを行い、MPIでほぼフルベクトル化フル並列化された3次元MHDコード(*mearthb*)を作成することができた。その計算速度は、VPP FortranとHPF/JAのMHDコードと同等以上の高計算効率を得ることができた。書き換えの労力だが、VPP FortranかHPF/JAでフルベクトル化フル並列化された3次元MHDコードがあれば比較的容易にMPI利用のFortranコードに書き換えることが可能である。もちろん、コードによってはフルベクトル化フル並列化を保つために工夫しなければならないことがある。MPIでの問題点や大規模計算でMPIをどう使用すべきかは、後の補足説明で行う。

ベクトル化や並列化した場合、非ベクトル化コードや非並列化コードに比べて何倍の速度向上率が得られるかを示すものに、アムダールの法則がある。その法則によると、多数のPE(Processing Element)を用いて高い速度向上率を得るために、並列化率が100%に限りなく近いことが極めて重要となる。従って、高効率のシミュレーションコードを作成するためには、どうやってフルベクトル化とフル並列化を実現するかにかかっている。実際には、内側のdo loopでベクトル化されているので、そのベクトル化を維持したまま外側のdo loopで並列化をすればよいことになる。よく、「計算時間のかかっている

do roop から並列化せよ」と言われるが、その方法だとある程度までは並列化効率が上がるが、100%に近い並列化効率を得ることはほとんど不可能である。これまでのベクトル化と並列化の経験からすると、プログラムの構造をきちんと決めることが最も重要であると確信している。分散メモリ型並列計算機を用いる場合の並列計算の基本は単純なことで、計算する前に計算に必要な変数を全て各 PE に集めればよいわけで、それもできるだけ一括して転送し、転送回数をできるだけ少なくすればよい。即ち、プログラムの構造とは、領域分割の変数（方向）を軸とした計算の流れを示すフローチャートに、効率的な配列の利用内容を割り付けたものである。並列計算プログラムでは通常作業配列を多く取る必要が生じるので、プログラムの構造を決める時に作業配列の量を最小にすることが同時に必要となる。

具体的なベクトル並列計算の3次元 MHD コード VPP Fortran (pearthb)、HPF/JA (hearthb)、MPI (mearthb) を見てもらうと分かるように、その3種類の Fortran プログラムの基本的構造はほとんど変わっていない。プログラムの構造をほとんど変えずに、VPP Fortran、HPF/JA、MPI の並列化指示行を挿入することでプログラムの大半の部分を書き換えることができる。それに、それぞれのコンパイラに特有の部分をユニットとして追加すれば、プログラムの大部分ができあがる。後に残される問題は、大まかに言えば境界条件と入出力である。これらも通常の場合はそれほど深刻な問題とはならない。しかし、MPI で超大型計算まで目標としている場合には、境界条件と入出力には注意が必要である。場合にもよるが、MPI の導入書や解説書に通常書いてある方法はほとんど通用しないと考えておいた方が無難である。

3.1. MPI による MHD コードの作成（具体例）

MPI (Message Passing Interface) の使い方を分かりやすくかつ具体的に解説したものとして、青山幸也著「並列プログラミング虎の巻 MPI 版」がある。その中で、青山氏は、メッセージ交換サブルーチンについて、「並列化にともなう矛盾（副作用）を解消するために、必要最小限仕方なしに行うもの」と言明しているが、全く、達観だと思う。これを私なりに具体的に書くと、「計算する前に、できるだけ一括してかつできるだけ転送回数を少なくして、計算に必要な変数を全て各 PE (Processing Element) に集めて計算する」となる。

それでは、MPI による MHD コードの作成の重要な部分を具体的に見ていくことにする。MPI バージョンのディレクトリ mearthb には、二つの基本的な Fortran プログラムがある。どちらもこのスクール用のものである。

mearthb_send.f : プロックキング通信 mpi_send と mpi_recv を利用

mearthb.isend.f : 非プロックキング通信 mpi_isend と mpi_irecv を利用した改良版

3次元 MHD コードは、HPF/JA から MPI へ移植しているので、!hpfs で示される HPF/JA の指示行がそのまま残っているが、MPI ではそれらは全てコメント行として扱われる。また、MPI への移植で変更した部分は全て、CC MPI START と CC MPI END のコメント行で挟まれている。以下では、mearthb_send.f の説明をする。

数値計算法としては、Modified leap-frog 法を用いていて、 k (z)方向に領域分割を行う。プログラムの計算のパラメータなどは、後の 4 . 1 の計算パラメータの設定で詳しく説明しているので、ここでは省略する。PE(Processing Element)数は $npe=2$ で、 $isize$ は PE 数、 $irank$ はランク(PE)の番号で、この場合、 $isize=npe=2$ 、 $irank=0,1$ となる。 ks と ke は $irank$ での通常の k の初期値と終期値を示し、各 $irank$ のローカルな $k=k_local$ とグローバルな $k=k_global$ の関係は、 $k_global=k_local+kss$ で与えられる。従って、 k (z)方向のグローバル変数と並列化後のローカル変数の対応は、

```

k=1,nz2      -> k=ks,ke
k=1,nz2-1   -> k=ks,ke1
k=2,nz2-1   -> k=ks1,ke1

```

となる。また、 $recvcount$ と $displs$ は $gather$ する時の各ランクのデータの大きさと各ランクのデータの先頭番地を示す。

CC MPI START

```

include 'mpif.h'
integer istatus(MPI_Status_size)
common /para_info/ks,ks1,ke,ke1,kss,irank,isize
c for mpi_gatherv
parameter (npe=2)
integer recvcount(npe),displs(npe)

```

CC MPI END

よく使われる 1 次元方向の分割方法は 2 種類ある。分割方法 1 は、あるランクまで同数の ko が入り、それ以後のランクも同数の $ko-1$ が入る方法である。分割方法 2 は、同数の ko が入るランクをできるだけ多く取り、それ以後のランクは順次減らす方法である。ここでは、分割方法 1 を採用する。この場合あるランクまでに入る同数は、 $ko=nzz=(nz2-1)/npe+1$ となる。ここに両側の境界を含めて $nz2=nz+2$ となっている。 k (z)方向に分割した両側にのりしろが 1 個ずつ必要なので、各 PE に必要な k (z)方向の配列の範囲は $k=(0:nzz+1)$ で与えられ、大きさは $nzz+2$ と取ればよいことになる。また、 $fg(nx2,ny2,nz2)$ はファイル $read$ と $write$ のために利用する作業配列である。

CC MPI START

```

parameter(nzz=(nz2-1)/npe+1)
dimension f(nx2,ny2,0:nzz+1,nb),u(nx2,ny2,0:nzz+1,nb),
1           ff(nx2,ny2,0:nzz+1,nb),p(nx2,ny2,0:nzz+1,nbb),
2           pp(nx2,ny2,0:nzz+1,3)

```

c for all_gather

```
dimension fg(nx2,ny2,nz2)
```

CC MPI END

分割方法 1 を用いた、具体的なパラメータは次の部分で与えられる。この計算で、 isize と irank に対する、 ks,ke,kss,recvcount(npe),displs(npe) の値が決められる。 recvcount(npe) を計算するのに、 mpi_gather を用いている。この部分はそのまま他のプログラムにも利用できて、それが、理解できると MPI の 1 次元方向の分割方法は主な部分が分かったことになる。

CC MPI START

```
call mpi_init(ier)
call mpi_comm_rank(mpi_comm_world,irank,ier)
call mpi_comm_size(mpi_comm_world,isize,ier)

c
kk=nz2/isize
kmod=mod(nz2,isize)

c
ks=1
kss=irank*kk+min(kmod,irank)

c
if (irank.lt.kmod) kk=kk+1
ke=ks+kk-1
ks1=ks
ke1=ke
if (irank.eq.0) ks1=2
if (irank.eq.isize-1) ke1=ke-1

c
nword=(ke-ks+1)*nx2*ny2
call mpi_gather(nword,1,mpi_integer,recvcount,
               *           1,mpi_integer,0,mpi_comm_world,ier)
displs(1)=0
do i=2,isize
    displs(i)=displs(i-1)+recvcount(i-1)
end do
```

c

CC MPI END

次の 2 つは、単純なことでデータの read、write 及びファイルの入出力は irank=0 で実行することを宣言している。

CC MPI START

```
if (irank.eq.0) then
```

```
open(11,file='./school/mearthb/meart01.data',
1           access='sequential',form='unformatted')
end if
```

CC MPI END

CC MPI START

```
if (irank.eq.0)
* write (6,12) iii,last,nx,ny,nz,n1,n2,n3,n4,n5,n6,eat0,rmu0,aru,
1 eud,rrat,hx,hy,hz,t,t1,ro01,pr01,gra,dx2,dy2,dz2,dx4,dy4,dz4,
2 bis,(cp(i),i=1,11),(cj(j),j=1,10)
```

CC MPI END

また、k (z)方向には領域分割されているので、k (z)方向のグローバルな変数 k=1,nz2 は必ずローカルな変数 k=ks,ke に変更しなければならない。

CC MPI START

```
do 22 k=ks,ke
```

CC MPI END

次の部分は、ブロッキング通信を用いて、irank の ks のデータを irank-1 に mpi_send で送り、そのデータを irank+1 から irank の ke+1 に転送することで、のりしろのデータを一つ若いランクの PE に送る。mpi_barrier は同期を取るためである。

CC MPI START

```
do m=1,nb
len=nx2*ny2
if (irank.gt.0) then
  call mpi_send(f(1,1,ks,m),n2,mpi_real,irank-1,
&                           100,mpi_comm_world,ier)
end if
if (irank.lt.isize-1) then
  call mpi_recv(f(1,1,ke+1,m),n2,mpi_real,irank+1,
&                           100,mpi_comm_world,istatus,ier)
end if
end do
call mpi_barrier(mpi_comm_world,ier)
```

CC MPI END

次は、`mpi_gatherv` でデータを `irank=0` に全て集めて、`irank=0` でファイルに書き出している。この時、書き出しの前に `mpi_barrier` で同期を取る必要がある。

```
do 173 m=1,nb
CC MPI START
c      do m=1,nb
         call mpi_barrier(MPI_COMM_WORLD,ier)
         call mpi_gatherv(f(1,1,1,m),nword,MPI_REAL,fg(1,1,1),
*                           recvcount,displs,MPI_REAL,0,
*                           MPI_COMM_WORLD,ier)
c      end do
         call mpi_barrier(MPI_COMM_WORLD,ier)
CC MPI END
CC MPI START
  if(irank.eq.0) then
CC MPI END
  do 1732 k=1,nz2
    write(ntap) fg(1:nx2,1:ny2,k)
  1732 continue
CC MPI START
  end if
CC MPI END
  173 continue
```

また、MHD シミュレーションを続ける時、常に速度の絶対値の最大値をモニターすることによって、数値不安定が生じたかどうかを判定していて、`vmax` が規格化した値で 1 を越えたら、その時のデータを書き出して計算を終了するようにしている。その `vmax` の計算には、`mpi_allreduce` を用いる。

```
CC MPI START
  call mpi_allreduce(vmax,vmax1,1,MPI_REAL,MPI_MAX,
*                      MPI_COMM_WORLD,ier)
  vmax=vmax1
CC MPI END
```

以上みてきたように、HPF/JA のプログラムを MPI に書き換える場合、`CC MPI START` と `CC MPI END` で挟まれるテンプレート（モジュール）を追加・置き換えすれば、ほとんどそのまま書き換えることができる。VPP Fortran から MPI への書き換えもほとんど同じである。こうして、MPI に書き換えられた 3 次元 MHD コードは、ほとんどベクトル化と並列化がされていると考えてよい。もちろん、

時々、境界条件の部分で新たな工夫が必要なことが生じことがある。また、中規模までの計算では効率的な計算が行えたとしても、超大規模計算（3次元 MHD で約 1 億以上の格子点を使用）の場合は、更なる注意と考慮が必要である。

3 . 2 . MPI 利用についての補足説明

MPI 利用で、並列計算効率の高いプログラムの作成、境界条件の扱い方、ファイルの read と write について、補足説明を行う。

(1) 非ブロッキング通信の使用

前の節では、ブロッキング通信 `mpi_send` と `mpi_recv` を利用していたが、非ブロッキング通信 `mpi_isend` と `mpi_irecv` を使用するとプログラムの計算効率が向上する。その使用方法は簡単で、使用例は `mearthb.isend.f` にあるのでご覧頂きたい。この場合、非ブロッキング通信を用いるので、送信 `mpi_isend` と受信 `mpi_irecv` コマンドと同時に送信・受信の完了を待つ `mpi_wait` をセットにして用いる必要がある。

(2) 周期的境界条件

周期的境界条件は、次のように最後の番号の PE、`irank=isize-1` の `k=ke-1` から、最初の番号の PE、`irank=0` の `k=ks` へと転送し、更に、最初の番号の PE、`irank=0` の `k=ks+1` から最後の番号の PE、`irank=isize-1` の `k=ke` へと転送すればよい。その具体的な例は、次に示すような Modified leap-frog 法で3次元の波動方程式を解くプログラム、ディレクトリ `mwave` の `mwave3.f.send` と `mwave3.f.isend` を参照して頂きたい。

CC MPI START

```
if (irank.eq.isize-1) then
    call mpi_send(f(1,1,ke-1,m),n2,mpi_real,0,
    &           110,mpi_comm_world,ier)
elseif (irank.eq.0) then
    call mpi_recv(f(1,1,ks,m),n2,mpi_real,isize-1,
    &           110,mpi_comm_world,istatus,ier)
end if

c
if (irank.eq.0) then
    call mpi_send(f(1,1,ks+1,m),n2,mpi_real,isize-1,
    &           115,mpi_comm_world,ier)
elseif (irank.eq.isize-1) then
    call mpi_recv(f(1,1,ke,m),n2,mpi_real,0,
    &           115,mpi_comm_world,istatus,ier)
```

```

    end if
    call mpi_barrier(MPI_COMM_WORLD,ier)
CC MPI END

```

(3) 特殊な境界条件を MPI でどう解くか

次の例のように、分割の $k(z)$ 方向の変数を逆に並び替える場合は、効率のよい MPI のプログラムをどのように作るか、考えてみて下さい。ここに、 $nz2=nz+2$, $nz3=nz+3$ とする。(ヒント：必要最小の変数を `mpi_gatherv` で $irank=0$ に集めて、並び替え、続いて `mpi_scatterv` で各 PE に配信する方法が考えられる。)

```

do k=1,nz2
f(2:nx1,1,k,1:nb) = f(2:nx1,2,-k+nz3,1:nb)
end do

```

(4) `read` と `write` のファイル入出力をどうするか

地球磁気圏の 3 次元 MHD コード `mearthb_send.f` では、データ入出力の作業配列 `fg(nx2,ny2,nz2)` を用意して、`mpi_gatherv` でデータを $irank=0$ に全て集めて、 $irank=0$ でファイルに書き出している。これは、配列を増やしてプログラムサイズを大きくする時、大きな問題となる。まず、送受信のバッファーの制限内に収まっているか、次に $irank=0$ の `fg(nx2,ny2,nz2)` にデータを全て集めるので、 $irank=0$ のメモリ制限がある。通常の計算（3 次元 MHD コードでの格子点が約 1 億個以下）では、ここで書いていることは深刻な問題とはならない。しかし、プログラムサイズを極端に大きくする時は作業配列 `fg` は使用せず、かつデータを $irank=0$ に全て集めることも止める必要がある。この場合は、個々のランク（PE）からそれぞれ名前を区別して個々にファイルを書き出し、後でその個々のファイルをまとめるなど編集して利用することになる。

(5) MPI のプログラム作成のまとめ

これまでみてきたように、MPI のプログラム作成は簡単だと思って間違いないと思う。それも、VPP Fortran や HPF/JA で効率的に書かれたプログラムならなおさらである。そして、フルベクトル化とフル並列化多くの場合、容易に達せられるであろう。問題が生じるとすれば、境界条件で発生することが時々ある。また、MPI プログラムの高効率化は使用している並列計算機の特徴や機能とも関係している。従って、問題が生じたり、高効率化が出ない場合は、センターなどのプログラム相談者に質問や相談するのがよいであろう。それと並行して、MPI プログラムを利用している研究者が MPI の使用知識を公開して共有化することも極めて現実的で有効な方法である。この目的で私達は次の Homepage (<http://center.stelab.nagoya-u.ac.jp/kaken/kakenhi.html>) を設けて、個々の研究者が得た並列計算の知識を共有化しようと計画している。

3.3.並列計算法の効率

3次元MHDシミュレーションなどの大型シミュレーションを実行するためには、スーパーコンピュータの利用と、ベクトル化や並列化による計算速度の効率化は必須である。表1に、講義と実習で使用する3次元MHDコードをSUNとVPP-5000(VP Fortran, VPP Fortran, HPF/JA, MPI)で実行した時の速度の比較を示している。計算時間(sec)は、Modified leap-frog法で1回時間ステップを進めるのに要する時間を示している。SUN(GR720)に比べて、VPP5000(2PE)ではいずれも約70倍の計算速度がでていることが分かる。実際の太陽風地球磁気圏相互作用の3次元MHDシミュレーションでは、約1万回の繰り返し計算をするので、SUN(GR720)で約20時間、VPP5000(2PE,MPI)で約20分の計算時間がかかることが分かる。PEを増やすと更にその差は更に大きくなる。

表1. 計算機実習で用いる1/4領域の地球磁気圏シミュレーション3次元MHDコードの
計算速度の比較：earthb、格子点数(nx,ny,nz)=(180,60,60)

Table 1. Comparison of computer processing capability of 3-dimensional global
MHD code with a quarter volume: earthb with (nx,ny,nz)=(180,60,60).

Computer Processing Capability

A Quarter Model of the Earth's Magnetosphere (nx,ny,nz)=(180,60,60); earthb

computer	number of PEs	compiler	sec	(MFLOPS)	GF/PE (date)
Fujitsu GR720	(1PE)	Fortran 90 (frt)	7.72998	(136)	0.14 (2002.08.01)
Fujitsu VPP-5000	(1PE)	VP Fortran	0.19342	(5,428)	5.43 (2002.08.01)
Fujitsu VPP-5000	(2PE)	VPP Fortran	0.10509	(9,990)	5.00 (2002.08.01)
Fujitsu VPP-5000	(2PE)	HPF/JA	0.11064	(9,489)	4.74 (2002.08.01)
Fujitsu VPP-5000	(2PE)	MPI	0.09899	(10,606)	5.30 (2002.08.01)
Fujitsu VPP-5000	(2PE)	MPI (isend)	0.09774	(10,797)	5.40 (2002.08.08)

frt: Fujitsu VPP Fortran 90 HPF: High Performance Fortran

MPI; Message Passing Interface

: MFLOPS is an estimated value in comparison with the computation by
1 processor of CRAY Y-MP C90.

並列計算法の有効性を示すために、VPP FortranとHPF/JAとMPIで書かれた太陽風地球磁気圏相互作用の3次元MHDコードによるFujitsu VPP5000/64を用いての計算速度の比較を示す。VPP Fortran, HPF/JA及びMPIで同等の計算速度がでていて、その計算効率もかなり高いことが分かる。これらの並列計算MHDコードはフルベクトル化とフル並列化ができていて、VPP FortranとHPF/JA

の大規模計算では 400 Gflops 程度以上の高効率も実現している。こうして、ワークステーションや PC の最速のものに対して、最大規模のスーパーコンピュータは大体千倍以上の計算速度を有していることが理解できると思う。

配列が(800x200x478, 800x200x670)のように大きくなつて、計算の規模が大きくなつた場合、MPI は通常のオペレーションモードではまだ必ずしも十分な高効率の計算速度を実現していない。表 2 では、MPI Fortran ジョブも高効率が得られているが、これはシングルモードでのテスト結果を示している。通常のオペレーションモードで必ずしも高効率が得られない理由は、当該の MPI Fortran コードの問題、ベクトル並列型スーパーコンピュータ VPP5000 とのマッチングの問題、MPI の計算時間計測のみが他と異なっている問題などいくつかの原因があるようなので、目下調査中である。問題がはっきりすれば、上述の Homepage などで示す予定である。VPP Fortran と HPF/JA では cpu 使用時間の累計を計算時間計測に用いているが、MPI では cpu 使用時間の累計を計る方法が無いので単にジョブの経過時間を用いている。従つて、MPI の計測では多重のジョブが同時に実行されるとそれだけ遅く出てしまう。いずれにせよ、MPI は使用開始して日が浅いので、解決すべき問題が多くある。MPI は最後の共通並列計算方法である点からも、その問題解決のためにも MPI の使用知識の共有化は重要であると考えている。

表 2 .VPP Fortran と HPF/JA と MPI で書かれた太陽風地球磁気圏相互作用の 3 次元 MHD コードによる Fujitsu VPP5000/64 での計算速度の比較

Table 2. Comparison of computer processing capability between VPP Fortran and HPF/JA and MPI in a 3-dimensional global MHD code of the solar wind-magnetosphere interaction by using Fujitsu VPP5000/64.

Number of PE	Number of grids	VPP Fortran cpu time Gflops Gf/PE	HPF/JA cpu time Gflops Gf/PE	MPI cpu time Gflops Gf/PE
1PE	200x100x478	119.607 (0.17) 0.17 (scalar)		
1PE	200x100x478	2.967 (6.88) 6.88	3.002 (6.80) 6.80	
2PE	200x100x478	1.458 (14.01) 7.00	1.535 (13.30) 6.65	1.444 (14.14) 7.07
4PE	200x100x478	0.721 (28.32) 7.08	0.761 (26.85) 6.71	0.714 (28.60) 7.15
8PE	200x100x478	0.365 (55.89) 6.99	0.386 (52.92) 6.62	0.361 (56.55) 7.07
16PE	200x100x478	0.205 (99.38) 6.21	0.219 (93.39) 5.84	0.191 (107.19) 6.70
24PE	200x100x478	0.141 (144.49) 6.02	0.143 (143.02) 5.96	0.1302(157.24) 6.55
32PE	200x100x478	0.107 (191.23) 5.98	0.110 (186.13) 5.82	0.1011(202.50) 6.33
48PE	200x100x478	0.069 (297.96) 6.21	0.074 (276.96) 5.77	0.0679(301.51) 6.28
56PE	200x100x478	0.064 (319.53) 5.71	0.068 (299.27) 5.34	0.0639(320.39) 5.72
64PE	200x100x478	0.0662(308.91) 4.83	0.0627(324.57) 5.07	0.0569(359.80) 5.62

1PE	500x100x200	2.691 (-7.94) 7.94	2.691 (-7.94) 7.94	
2PE	500x100x200	1.381 (15.47) 7.73	1.390 (15.37) 7.68	1.355 (15.77) 7.89
4PE	500x100x200	0.715 (29.97) 7.47	0.712 (29.99) 7.50	0.688 (31.03) 7.76
8PE	500x100x200	0.398 (53.65) 6.71	0.393 (54.38) 6.80	0.372 (57.50) 7.19
16PE	500x100x200	0.210 (101.87) 6.37	0.202 (105.74) 6.61	0.193 (110.70) 6.92
24PE	500x100x200	0.160 (133.70) 5.57	0.150 (142.40) 5.93	0.135 (158.26) 6.59
32PE	500x100x200	0.131 (163.55) 5.11	0.120 (175.50) 5.48	0.1084(197.10) 6.15
48PE	500x100x200	0.100 (214.48) 4.46	0.091 (231.69) 4.82	0.0811(263.44) 5.49
56PE	500x100x200	0.089 (239.48) 4.28	0.086 (244.85) 4.37	0.0688(310.54) 5.55
64PE	500x100x200	0.0956(222.95) 3.48	0.0844(249.49) 3.90	0.0687(310.99) 4.86
2PE	800x200x478	10.659 (15.33) 7.66	10.742 (15.21) 7.60	10.428 (15.67) 7.83
4PE	800x200x478	5.351 (30.53) 7.63	5.354 (30.52) 7.63	5.223 (31.28) 7.82
8PE	800x200x478	2.738 (59.67) 7.46	2.730 (59.85) 7.48	2.696 (60.61) 7.58
12PE	800x200x478	1.865 (87.58) 7.30	1.911 (85.49) 7.12	1.771 (92.25) 7.68
16PE	800x200x478	1.419 (115.12) 7.19	1.389 (117.66) 7.35	1.342 (121.81) 7.61
24PE	800x200x478	0.975 (167.54) 6.98	0.976 (167.45) 6.98	0.905 (180.59) 7.52
32PE	800x200x478	0.722 (226.33) 7.07	0.717 (227.72) 7.12	0.690 (236.63) 7.39
48PE	800x200x478	0.534 (305.70) 6.36	0.515 (317.26) 6.61	0.469 (348.38) 7.25
56PE	800x200x478	0.494 (330.95) 5.91	0.464 (352.49) 6.29	0.433 (377.73) 7.74
64PE	800x200x478	0.465 (351.59) 5.49	0.438 (373.41) 5.83	0.389 (420.45) 6.57
4PE	800x200x670	7.618 (30.06) 7.52	8.001 (28.62) 7.16	7.433 (30.81) 7.70
8PE	800x200x670	3.794 (60.36) 7.54	3.962 (57.81) 7.23	3.683 (62.17) 7.77
12PE	800x200x670	2.806 (81.61) 6.80	3.005 (76.21) 6.35	2.696 (84.95) 7.08
16PE	800x200x670	1.924 (119.00) 7.44	2.012 (113.85) 7.12	1.854 (123.53) 7.72
24PE	800x200x670	1.308 (175.10) 7.30	1.360 (168.44) 7.02	1.254 (182.61) 7.60
32PE	800x200x670	0.979 (233.85) 7.31	1.032 (221.88) 6.93	0.955 (239.77) 7.49
48PE	800x200x670	0.682 (335.62) 6.99	0.721 (317.80) 6.62	0.662 (346.21) 7.21
56PE	800x200x670	0.595 (384.61) 6.87	0.628 (364.87) 6.52	0.572 (400.59) 7.15
16PE	1000x500x1118	9.668 (123.52) 7.72	9.619 (125.50) 7.84	
32PE	1000x500x1118	5.044 (236.73) 7.40	4.992 (241.83) 7.56	
48PE	1000x500x1118	3.550 (336.40) 7.01	3.479 (346.97) 7.23	
56PE	1000x500x1118	2.985 (400.04) 7.14	2.935 (411.36) 7.35	
32PE	1000x1000x1118	9.979 (239.33) 7.48	9.813 (243.37) 7.61	
48PE	1000x1000x1118	7.177 (332.79) 6.93	7.028 (339.85) 7.08	

56PE 1000x1000x1118 5.817 (410.55) 7.33 5.794 (412.23) 7.36

: Mflops is an estimated value in comparison with the computation by
1 processor of CRAY Y-MP C90.

4 . 太陽風磁気圏相互作用の3次元MHDコードの実行

ここでは、計算機実習で用いる1/4領域の太陽風と地球磁気圏相互作用の3次元グローバルMHDシミュレーションコードで用いているパラメータの説明をして、ワークステーションなどの普通の計算機で計算するメモリ節約型のベクトル化コード(`earthb10.f`)及び、VPP Fortran, HPF/JA及びMPIの3つのバージョンの並列計算3次元MHDコードの計算実行方法とその具体例を示す。

3-Dimensional MHD Simulation of Earth's Magnetosphere

<Example to execute the MHD Code and Graphic programs>

We will demonstrate how to execute the 3-Dimensional magnetohydrodynamic (MHD) Simulation of Earth's Magnetosphere in 1/4 volume and how to use the graphics programs to make PostScript files and VRML files in this section. In the MHD model, MHD and Maxwell's equations are solved in the solar-magnetospheric coordinate system by using modified leap-frog method when the upstream solar wind and interplanetary magnetic field (IMF) boundary conditions are given. Moreover, north-south symmetry and dawn-dusk symmetry are assumed, therefore it is enough to solve 1/4 volume as the simulation box. The main simulation Fortran program, `earthb10.f` is fully vectorized and can be executed on many kinds of computers. By executing the main MHD simulation code, a simulated binary file is produced as output. When the output binary file is used as input, graphics programs can be executed to make PostScript files and VRML files for three dimensional visualization.

4 . 1 . 計算パラメータの設定

ベクトル化された3次元MHDコード`earthb(earthb10.f)`で使用しているパラメータの設定を次にまとめて示す。ベクトル並列化3次元MHDコードでのパラメータの設定内容は同じである。

main program : `earthb10.f`

`earthb10.f` using modified leap-frog scheme

3D MHD simulation of 1/4 earth's magnetosphere

Cartesian coordinate finite resistivity 45 degree boundary

(nx,ny,nz)=(180,60,60) : grid number without boundary

nxp=30 : parameter to determine earth position

last=1024 : number of time steps
iiq0=8 : a unit of modified leap-frog scheme
iip0= 32 : adjust upstream boundary condition
iis0= 1024 : sampling step of data
thx=4.00 : parameter to adjust time step

$(xl,yl,zl)=(90.5,30.5,30.5)$ Re: length in each direction
hx=xl/float(nx+1)=0.5Re : grid interval in x direction
hy=yl/float(ny+1)=0.5Re : grid interval in y direction
hz=zl/float(nz+1)=0.5Re : grid interval in z direction
t=0.5*hx*thx : time interval
t(real)=t*ts : real time to one time step advance
 $=0.5*0.5*4.00*0.937$: ts is normalization value in time
 $=0.937$ sec

x=0.5*hx*float(2*i-nx2-1+2*nxp) : x position versus grid number
y=0.5*hy*float(2*j-3) : y position versus grid number
z=0.5*hz*float(2*k-3) : z position versus grid number

where $nx2=nx+2$, $ny2=ny+2$ and $nz2=nz+2$

ro01=5.0E-4 (5/cc) : mass density of solar wind
pr01=3.56E-8 : pressure of solar wind
vsw=0.044 (300km/s) : speed of solar wind
bis=CP(11)=1.5E-4 (5nT) : amplitude of IMF

eatt : resistivity
rmuu : viscosity
eud0 : friction or collision term

1-dimensional array variable $f(i1)=f(i,j,k,m)$

n1=nx+2,n2=n1*(ny+2),n3=n2*(nz+2)
nb=8,nbb=11,n4=n3*nb,n5=n3*nbb

i1=i+n1*(j-1)+n2*(k-1)+n3*(m-1)

```

m=1 : rho, plasma density
m=2 : Vx, x-component of velocity
m=3 : Vy, y-component of velocity
m=4 : Vz, z-component of velocity
m=5 : P, plasma pressure
m=6 : Bx, x-component of magnetic field
m=7 : By, y-component of magnetic field
m=8 : Bz, z-component of magnetic field

```

4 . 2 . 計算実行例

ベクトル化された3次元MHDコード earthb(earthb10.f)とベクトル並列化3次元MHDコード、MPI(mearthb)、HPF/JA(hearthb)、VPP Fortran(peartb)での計算実行例を次に示す。ベクトル並列化3次元MHDコードの実行でコンパイルと実行のシェルは、それぞれのディレクトリの中に置いてあり、実行コマンドの例は readme ファイルに書かれている。

4.2.1. <<execution of main program>>

1. f77 -O earthb10.f

2. a.out &

where file must be defined in open statement like

```

c      open(10,file='earthb10.data',
c      1      access='sequential',form='unformatted')
      open(11,file='earthb11.data',
      1      access='sequential',form='unformatted')
c
or

```

1. f77 -o earthb10 -O earthb10.f

2. earthb10 &

4.2.2. <<compile and execution using by supercomputer, Fujitsu VPP5000>>

(1) MPI (Massage Passing Interface): mearthb

All the command shells are in "readme" file.

(1a) TSS

```

mpifrt progrmpi.f :compile to make execution file, a.out
jobexec -vp 2 ~/school/mearthb/a.out :execution of a.out by 2 PEs

```

(1b) Batch

```
qsub -q c -eo -o pconppmi2.out pconppmi2.sh :compile  
qsub mpi_lim02e.sh :execution of progmpi by 2 PEs
```

(2) HPF/JA (High Performance Fortran): hearthb

```
qsub -q c -eo -o pconphpf2.out pcomphpf2.sh :compile  
qsub -q z -eo -lIpv 2 -o pexchpf.out pexchpf.sh :execution by 2 PEs
```

```
qsub -q c -eo -o comp.out comp.sh :compile vector mode only  
qsub -q x -eo -o exec.out exec.sh :execution by 1 PE
```

(3) VPP Fortran (Fortran 90): pearthb

```
qsub -q c -eo -o pcomp90.out pcomp90.sh :compile  
qsub -q z -eo -lIpv 2 -o pexec90.out pexec90.sh :execution by 2 PEs
```

4 . 3 . 図形処理

図形処理を統一的に行うためには、次の3つの条件が満たされる必要がある。

- 1 . コンピュータの種類に依存しない方法の確立
- 2 . ソフトウェアなど全てを自分たちでコントロールする
- 3 . プログラムなどできるだけ統一的に（共通に）扱う方法の確立

これを逆にいえば、コンピュータに依存したソフトウェアや言語・仕様は使わない、また、特定の業者のみが販売する図形処理応用ソフトウェアは使わない、ということになる。紆余曲折したが、画像処理と図形出力の統一的な扱いのためには、Fortranなどを用いてPostScript画像ファイルを直接作成することが有効な方法であるという結論に達した。その結果として、私達が現在行っているコンピュータシミュレーションの画像処理の統一的な方法を項目としてまとめると以下のようになる。

- (1) シミュレーションデータを IEEE Binary 形式で保存
- (2) Fortran プログラムで PostScript 画像ファイルを直接に作成
PostScript ファイルを作成するための Interface Subroutine Package を作成
- (3) PostScript ファイルからファイル変換ツール（xv, pstogif など）で圧縮された
画像ファイル（gif など）を作成
- (4) 圧縮画像ファイル（gif など）を WWW で公開

この方法により、Fortran が使って、その中で大文字と小文字の区別ができれば、コンピュータの種類によらずに PostScript 画像ファイルを作りて図形出力を取り出すことが可能になった。また、C 言語でもできるように C 言語用の Interface Subroutine Package も用意している。

<http://gedas.stelab.nagoya-u.ac.jp/simulation/jst2k/hpf02.html>

4.3.1. graphics program to make PostScript files

1. gm150b.f (main) + gsub150.f (subroutine)
noon-midnight meridian and equatorial plots (black and white)
2. gm220b.f (main) + gsub220.f (subroutine)
energy distribution of cross section
3. gm480b.f (main) + gsub480.f (subroutine)
3-dimensional magnetic field lines

<<execution of PostScript graphics program>>

1. f77 -c -O gsub150.f
2. f77 -O gm150b.f gsub150.o
3. a.out > gm150b.ps &
4. gs gm150b.ps
5. lp gm150b.ps

1. f77 -c -O gsub220.f
2. f77 -O gm220b.f gsub220.o
3. a.out > gm220b.ps &

1. f77 -c -O gsub480b.f
2. f77 -O gm480b.f gsub480b.o
3. a.out & : output is written in fort.10
4. mv fort.10 gm480b.ps

太陽風と地球磁気圏相互作用の3次元グローバルMHDシミュレーションから得られた地球磁気圏の構造を示す図を、図7. 子午面と赤道面及び尾部断面図（白黒：gm150b.ps）、図8. 子午面と赤道面及び尾部断面図（カラー図：gm220b.ps）、図9. 磁力線の3次元構造（gm480b.ps）に示す。

5. VRMLによる3次元可視化

VRML (Virtual Reality Modeling Language) の登場のよって、VRMLのビューアさえあれば誰でも3次元画像を自分の好きなように見ることができる状況が実現した。自分のコンピュータの処理能力に依存して3次元画像処理（回転、拡大縮小など）の速度は決まるが、最近のネットスケープやインターネットエクスプローラなどを使えば、VRML 2.0 対応のcosmo player等のビューアを利用して、

3次元可視化がいつでもどこでも実現できる。

VRMLファイルの作成をどう実現するかであるが、私達は、VRMLファイル作成のための Fortran Interface Subroutine Package を準備し、fortranプログラムを用いて、3次元シミュレーションデータから直接にVRMLファイル(*.wrl)を作っている。これは3次元と2次元の違いはあるが、PostScript画像ファイルを作成する方法と同様の方法である。VRMLのビューアには通常視点を移動するwalkモードと対象物を移動・回転・拡大縮小するexamineモードがあり、磁気リコネクションなどの微細構造の関係を見るのに大変有効である。

5.1. Fortranを用いたサブルーチンパッケージ

<ftp://gedas.stelab.nagoya-u.ac.jp/sramp/simulation/vrml/>

VRML (Virtual Reality Modeling Language) and PostScript Fortran programs

1. vrml

3-dimensional visualization Fortran program by using VRML

2. PostScript

Fortran test program to make PostScript graphic files

3. PostScript2

Fortran test program to make PostScript graphic files with subroutine

5.2. 地球磁気圏の3次元MHDシミュレーションへの適用

<ftp://gedas.stelab.nagoya-u.ac.jp/sramp/simulation/earthb/>

3-dimensional graphics program by VRML files

<Virtual Reality Modeling Language>

1. zvrmagb.f (main) + zvrsubb.f (subroutine)

3-dimensional magnetic field lines

2. zvrcrob.f (main) + zvrsubb.f (subroutine)

cross sectional pattern by pixel image

<<execution of VRML graphics program>>

1. f77 -c -O zvrsubb.f

2. f77 -O zvrmagb.f zvrsubb.o

3. a.out & : output is written in fort.10

4. mv fort.10 fort.102

1. f77 -c -O zvrsubb.f
5. f77 -O zvrcrob.f zvrsubb.o
6. a.out & : output is written in fort.10
7. mv fort.10 fort.101
8. cat fort.101 fort.102 > zvrm101.wrl

V R M L を用いて、シミュレーションから得られた地球磁気圏構造を 3 次元可視化した例を図 10 に示す。

6 . おわりに

富士通 VP-2600、日立 S820、NEC SX-3、CRAY Y-MP などのベクトル計算機の時代までは、フルベクトル化された 3 次元 MHD コードを用いて Fortran コンパイラーが載っている全ての計算機を利用して、太陽風と地球磁気圏相互作用の 3 次元グローバル MHD シミュレーションを実行することができた。この Fortran プログラムの汎用性のために、私達は 3 次元 MHD コードを世界中どこででも動かすことができ、MHD コードの配布などを通して世界中の多くの研究者と共同研究を行うことができた。しかし、ベクトル並列機と超並列機がコンピュータ シミュレーションの世の中に現れてくるや否や、Fortran プログラムの並列化の効率を上げるためにコンピュータに依存した様々の異なった手法を探らなければならなくなってしまった。多くのシミュレーション研究者は共通のプログラム言語を失い、特定のメーカーの機種でしか並列化の効率を上げられない、方言の Fortran プログラム言語を使わざるを得ない状況が発生した。

そのような閉塞的な状況を開拓する並列計算共通プログラム言語の候補として、HPF (High Performance Fortran) と MPI (Message Passing Interface)がある。HPF で書かれたコードは、日本でのほとんどのスーパーコンピュータで高効率の計算が期待できないし、その改良版の HPF/JA (日本で開発改良された HPF の改良版) は高効率が実現できるが、それも現在は日本の富士通と NEC のスーパーコンピュータに限定され、日立のマシンでは高効率を得ることはできない。こうして、共通並列計算法としての MPI に対する期待は益々大きくなっていた。こうした状況下、MPI を用いた 3 次元 MHD コード作成の具体的方法を例示し、VPP Fortran や HPF/JA と同等以上の高効率計算が実現できることを具体的に示してきた。MPI は、今後画像処理なども含めて、多くの種類の計算機で広く並列計算に使われる方法として期待されている。

太陽風と地球磁気圏相互作用のシミュレーション結果などを理解し、更に、人によりよく理解してもらうためには可視化は必須であり、アニメーション動画の作成と 3 次元可視化 / 3 次元画像解析は極めて強力な威力を發揮する。動画によってその複雑な振る舞いを一目瞭然にすることができ、更に、インターネット 3 次元言語、V R M L の登場によって 3 次元画像解析を誰にでもすぐに手にできるようになった。即ち、ネットワークを通して 3 次元可視化コンテンツの共有化が実現できるようになったといえる。

世界最高速の性能を誇る国産の新世代並列型スーパー・コンピュータを用い、スペース・プラズマ現象を効率よく並列計算できる、HPF や MPI の共通コンピュータ言語を用いた電磁流体コード、粒子コード、及びハイブリッドコードを作成・普及させて、世界に先駆けた大規模シミュレーションとそれらのコードを連携した大規模シミュレーションから太陽風・磁気圏・電離圏・ダイナミックスやスペース・プラズマの非線形物理に新しい知見をもたらすことが期待される。

謝辞

本稿のコンピュータシミュレーションは名古屋大学情報連携基盤センターのスーパー・コンピュータ、Fujitsu VPP5000/64 を利用してなされたものです。また、VPP Fortran から HPF/JA と MPI への書き換えでは多くの助言を頂いた名古屋大学情報連携基盤センターの津田知子助手と富士通株式会社の方に、更に、MPI への原型の書き換えではお世話と指導頂いた国立極地研究所の岡田雅樹助手と日立製作所の方に感謝いたします。

参考文献

- [1] T. Ogino, A three-dimensional MHD simulation of the interaction of the solar wind with the earth's magnetosphere: The generation of field-aligned currents,
J. Geophys. Res., 91, 6791-6806 (1986).
- [2] T. Ogino, R.J. Walker and M. Ashour-Abdalla, A global magnetohydrodynamic simulation of the magnetosheath and magnetopause when the interplanetary magnetic field is northward,
IEEE Transactions on Plasma Science, Vol.20, No.6, 817-828 (1992).
- [3] T. Ogino, Two-Dimensional MHD Code, (in *Computer Space Plasma Physics*), Ed. by H. Matsumoto and Y. Omura, Terra Scientific Publishing Company, 161-215, 411-467 (1993).
- [4] T. Ogino, R.J. Walker and M. Ashour-Abdalla, A global magnetohydrodynamic simulation of the response of the magnetosphere to a northward turning of the interplanetary magnetic field,
J. Geophys. Res., Vol.99, No.A6, 11,027-11,042 (1994).
- [5] 萩野竜樹、「太陽風と磁気圏相互作用の電磁流体力学的シミュレーション」,
プラズマ・核融合学会誌, CD-ROM 特別企画(解説論文), Vol.75, No.5, CD-ROM 20-30, 1999.
<http://gedas.stelab.nagoya-u.ac.jp/simulation/mhd3d01/mhd3d.html>
- [6] 萩野竜樹、「太陽風・磁気圏相互作用の計算機シミュレーション」,
名古屋大学大型計算機センターニュース, Vol.28, No.4, 280-291, 1997.
- [7] 萩野竜樹、「コンピュータシミュレーションと可視化」,
愛媛大学総合情報処理センター広報, Vol.6, 4-15, 1999.
<http://gedas.stelab.nagoya-u.ac.jp/simulation/simua/ehime985.html>
- [8] 萩野竜樹, 「VPP Fortran から HPF へ」, 名古屋大学大型計算機センターニュース 解説,

- 372-405, Vol.31, No.4, (2000).
<http://gedas.stelab.nagoya-u.ac.jp/simulation/hpfja/hpf013.html>
- [9] Ogino, T., Global MHD Simulation Code for the Earth's Magnetosphere Using HPF/JA,
Special Issues of Concurrency: Practice and Experience, 14, 631-646, 2002.
<http://gedas.stelab.nagoya-u.ac.jp/simulation/hpfja/mhd00.html>
- [10] 津田知子、「新スーパー計算機センターニュース、Vol.31, No.1, 18-33, 2000.
- [11] 津田知子、「MPI による並列化」、名古屋大学情報連携基盤センター MPI 講習会資料、
2002 年 2 月
- [12] High Performance Fortran Forum, 「High Performance Fortran 2.0 公式マニュアル」、
Springer, 1999.
- [13] 富士通株式会社、「HPF プログラミング ~ 並列プログラミング (HPF 編)
UXP/V 第 1.0 版、2000 年 6 月.
- [14] 富士通株式会社、「VPP FORTRAN プログラミング」、UXP/V, UXP/M
第 1.2 版、1997 年 4 月.
- [15] 富士通株式会社、「MPI プログラミング ~ Fortran, C ~」第 1.3 版、2001 年 4 月 .
- [16] 富士通株式会社、「MPI 使用手引き書 V20 用」、UXP/V 初版 1999 年 9 月
- [17] 青山幸也 (日本アイ・ビーエム株式会社) 「並列プログラミング虎の巻 MPI 版」
虎の巻シリーズ 2、2001 年 1 月 .
- [18] 株式会社日立製作所、「スーパー技術サーバ SR8000 プログラム移植報告書」
国立極地研究所、2002 年 3 月 .
- [19] 名古屋大学情報連携基盤センター、「スーパー計算機 VPP5000 利用の手引き」
2002 年 4 月 .
「VPP5000 利用の手引きの pdf ファイル」
http://nucc.cc.nagoya-u.ac.jp/CENT/vpp_tebiki.pdf
「スーパー計算機 VPP5000/64 利用案内」の Homepage
http://www2.itc.nagoya-u.ac.jp/sys_riyou/vpp/vpptebiki.htm

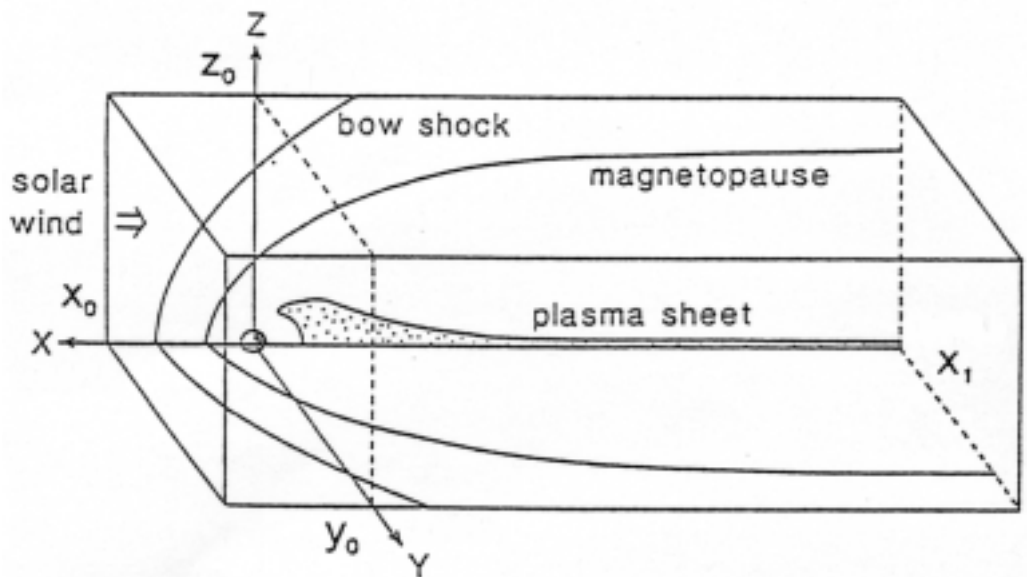
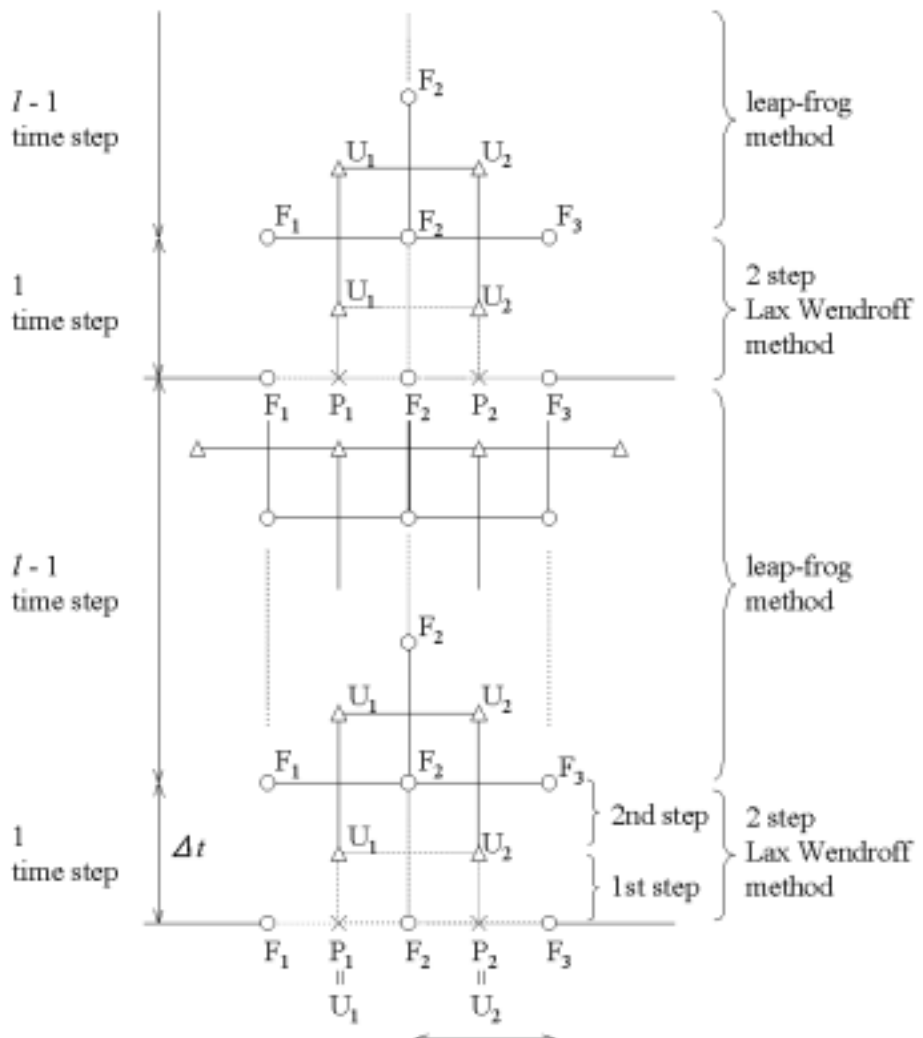


図1 . 3次元 MHD シミュレーションに用いる太陽地球磁気圏座標系

Fig.1 Solar-terrestrial magnetosphere coordinate system in the 3-dimensional MHD simulation.

図2 . Modified Leap-Frog 法の計算スキーム

Fig.2 Diagram of Modified Leap-Frog numerical scheme.



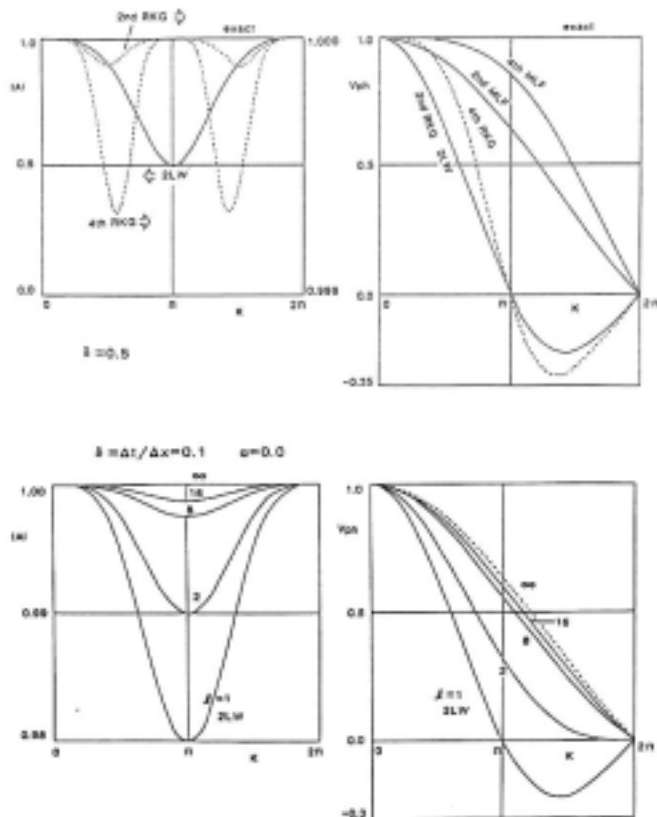


図3 Modified leap-frog 法(MLF)、2 step Lax-Wendroff 法(2LW)及びRunge-Kutta-Gill 法(RKG)に対する増幅率の絶対値と位相速度の波数依存性

Fig.3 Dependency of the absolute value and phase velocity of the amplification factor on wave number in cases of modified leap-frog, 2 step Lax-Wendroff and Runge-Kutta-Gill methods.

図4 ℓ を変化したときの Modified leap-frog 法(MLF)に対する増幅率の絶対値と位相速度の波数依存性

Fig.4 Dependency of the absolute value and phase velocity of the amplification factor on wave number for modified leap-frog method with different ℓ values.

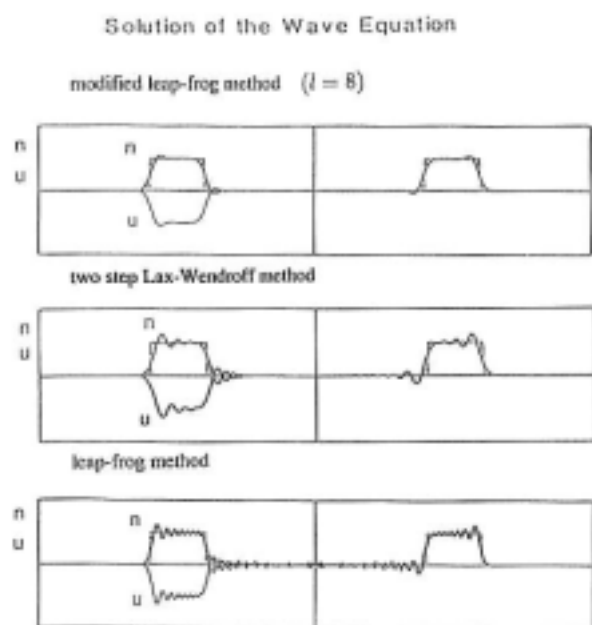


図5 3種類の計算方法を用いた波動方程式のシミュレーション

Fig.5 Simulation of the wave equation for 3 different kinds of numerical schemes.

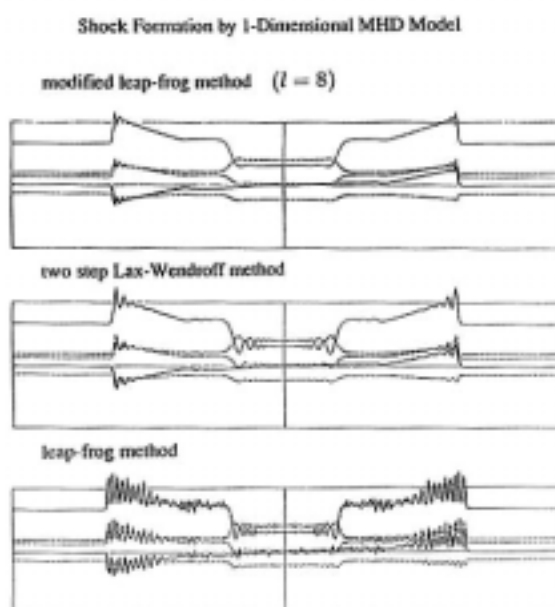


図6 3種類の計算方法を用いた MHD 衝撃波のシミュレーション

Fig.6 Simulation of the MHD shock wave for 3 different kinds of numerical schemes.

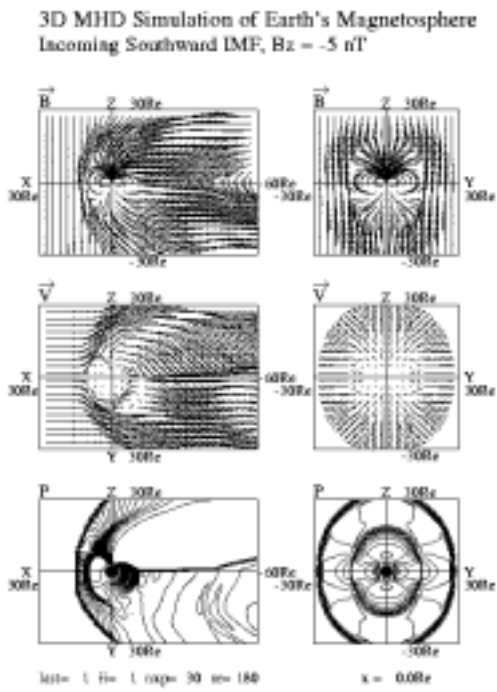


図7 . 太陽と地球を結ぶ子午面と赤道面の地球磁気圏の構造と磁気圏尾部の断面図 (白黒図 : gm150b.ps)

Fig.7 Magnetospheric configurations in the noon-midnight meridian and equator and cross sectional patterns (black and white:gm150b.ps).

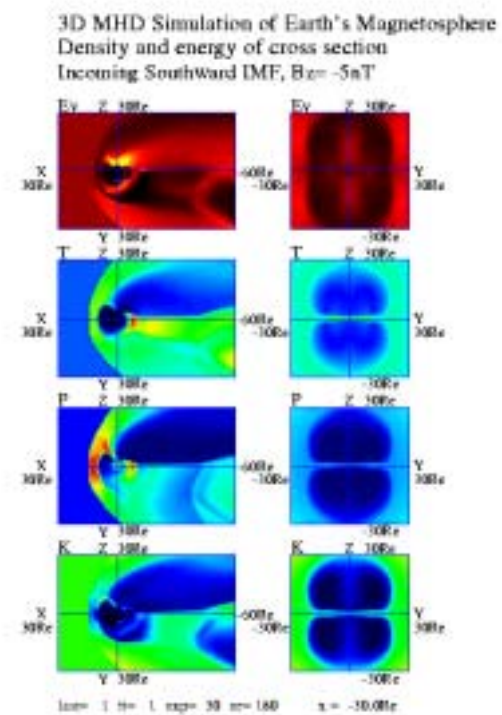


図8 . 太陽と地球を結ぶ子午面と赤道面の地球磁気圏の構造と磁気圏尾部の断面図(カラー図:gm220b.ps)

Fig.8 Magnetospheric configurations in the noon-midnight meridian and equator and cross sectional patterns (color:gm220b.ps).

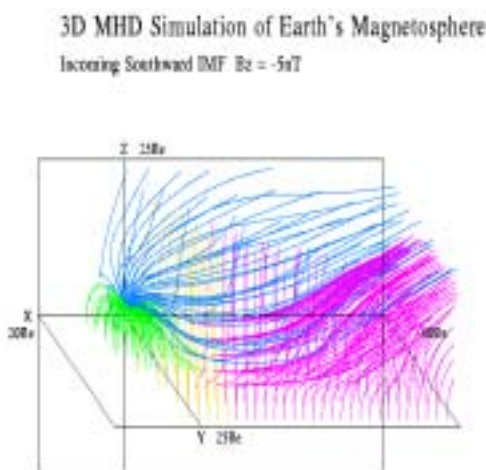


図9 . 地球磁気圏の磁力線の3次元構造
(gm480b.ps)

Fig.9 3-dimensional configuration of magnetic field lines in the earth's magnetosphere.

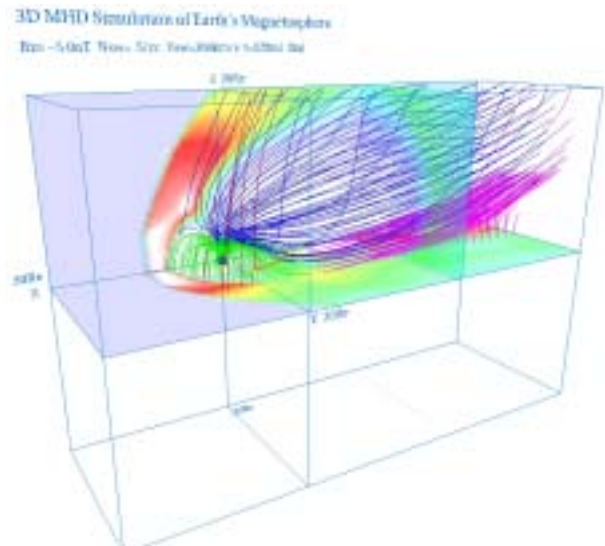


図10 . VRML を用いた地球磁気圏の可視化
(zvrmrl01.wrl)

Fig.10 3-dimensional visualization of the earth's magnetosphere by using VRML.